

萃取流程中放射性鈉的化学

(阶段工作报告)

复旦大学放射化学教研室

(一九六六年三月)

目 录

- (I) 硝酸体系中磷酸三丁酯萃取亚硝酰釔的机理
- (II) 在亚硝酸鈉存在下磷酸三丁酯萃取亚硝酰釔的行为
- (III) 氨基磺酸亚鉄預處理对磷酸三丁酯萃取亚硝酰釔的影响
- (IV) 影响磷酸三丁酯萃取亚硝酰釔的一些主要因素

萃取流程中放射性钌的化学 (I)

硝酸体系中磷酸三丁酯萃取亚硝酰钌的机理

复旦大学放射化学教研室

引言

以溶剂萃取法从被辐照过的核燃料中提取铀和钚的过程中，放射性裂变产物钌 (Ru^{103} 和 Ru^{106}) 的分离去污是一个重要而又困难的问题。这是由于钌在硝酸溶液中的化学状态极其复杂，而且它们的萃取行为又不是很清楚的缘故。

弗列切 尔 (Fletcher)、馬丁 (F. S. Martin) 等 [1-5]，以及尼科利斯基 (Никольский) 和什米德特 (Шмидт) 等 [6-8] 都曾比较系统地研究过钌的化学。他们指出，被辐照过的铀的硝酸溶液中钌主要以亚硝酰钌 (RuNO) 的形式存在，而亚硝酰钌又能与溶液中的 NO_3^- 、 NO_2^- 、 OH^- 和 H_2O 等配位体形成种类繁多的络合物。但是在各种不同的条件下，亚硝酰钌的络合物有那些是稳定的，它们的性质如何，这些都还存在着不同意见的争论。多数学者认为，在不含 NO_2^- 的硝酸溶液中，亚硝酰钌主要以 $\text{RuNO}(\text{NO}_3)_2(\text{H}_2\text{O})_2$ 、 $\text{RuNO}(\text{NO}_3)_2(\text{OH})(\text{H}_2\text{O})_2$ 及 $\text{RuNO}(\text{NO}_3)(\text{OH})_2(\text{H}_2\text{O})_2$ 存在。⁽³⁾ 但是弗列切 尔等 认为在硝酸浓度较高时，也可能有亚硝酰钌的硝酸络合阴离子如 $[\text{RuNO}(\text{NO}_3)_4 \cdot \text{H}_2\text{O}]^-$ 和 $[\text{RuNO}(\text{NO}_2)_4]^-$ 等的存在。

在硝酸体系中，有关用乙醚 [6]、二丁醚 [6]、磷酸三丁酯 [1,7-9] 和三辛胺 [11] 等萃取亚硝酰钌的机理已有不少文献报导。一般认为亚硝酰钌各种络合物的被萃取性质是不同的，其中最易被萃取的是 $\text{RuNO}(\text{NO}_3)_2 \cdot (\text{H}_2\text{O})_2$ 。但是该络合物在硝酸溶液中与其水

I - 2

解产物之間能相互轉化，很慢才能達到平衡。因此，由實驗測得的分配系數不僅取決於原始溶液中各種亞硝酰釤絡合物的相對含量，而且與有機相和水相的體積比及萃取時間都有關係。為了克服這些困難，馬丁⁽²⁾，尼科利斯基等⁽⁶⁾以及羅特斯登(Rud-stum)⁽⁹⁾曾分別採用了不同的萃取方法來測定 $\text{RuNO}(\text{NO}_3)_3 \cdot (\text{H}_2\text{O})_2$ 的分配系數，其中以馬丁技術比較簡單。

馬丁技術的基本原理是：在選取的萃取體系中，將水相與有機相劇烈振動，充分混合，則易被萃取的亞硝酰釤的絡合物(T)在兩液相之間能迅速地(約幾秒鐘)達到平衡，即使在 0°C 時也是如此。由於在此條件下，原始溶液中各種絡合物的相對含量將不會改變。因此，如果改變兩相體積比(通常是恆定水相體積而改變有機相體積)，則在萃取過程中水相中難於被萃取的絡合物(D)的濃度(C_D)將保持不變，而易被萃取絡合物的分配系數(D_T)為常數，即

$$D_T = \frac{C_{T\text{(有)}}}{C_{T+D} - C_D} \quad (1)$$

或

$$C_{T\text{(有)}} = D_T(C_{T+D} - C_D) \quad (2)$$

式中 C_{T+D} 是水相中釤的總濃度； $C_{T\text{(有)}}$ 是有機相中釤的總濃度，它們都是由實驗直接測定(用放射性比度來表示)的。將不同相體積比時測得的 $C_{T\text{(有)}}$ 對 C_{T+D} 作圖，按(2)式應得一直線，其斜率為 D_T ，對橫坐標截距為 C_D 。因此，該法可同時測得易被萃取的釤的絡合物的分配系數，以及在水相中難於被萃取絡合物的相對含量。

本文拟用馬丁技术测量磷酸三丁酯从硝酸溶液中萃取 $\text{Ru}^{100}(\text{NO}_3)_3 \cdot (\text{H}_2\text{O})_2$ 的分配系数，着重于研究萃取剂浓度对分配系数的影响，并討論其萃取的机理。

实 验 部 分

試剂

磷酸三丁酯 (TBP) 将国产化学純 TBP 用 1% 氢氧化鈉溶液洗涤后用蒸餾水洗至呈中性，然后減压蒸餾收集 $160-162^\circ\text{C}/15$ 毫米汞柱的馏份。經溴酚鑑定呈紫色，証明其中不含有他的酸性磷酸酯。該产品的 $n_D^{25} = 1.4223$ ， $d_4^{25} = 0.9730$ 。

煤油 市售煤油經濃硫酸洗涤后，用水洗二、三次，再用 50% 氢氧化鈉水溶液洗涤，然后再用蒸餾水洗至中性。經蒸餾純化，收集 $170-220^\circ\text{C}$ 馏份备用。

氯化釤 系英國約翰遜 (Johnson) 試劑厂出品的 A.R. 級試劑。 Ru^{100} (Rh^{100}) 放射性指示剂 系由苏联进口的 $\text{Ru}^{100} \text{Cl}_3$ 溶液。

其他試剂均系国产分析純試劑。

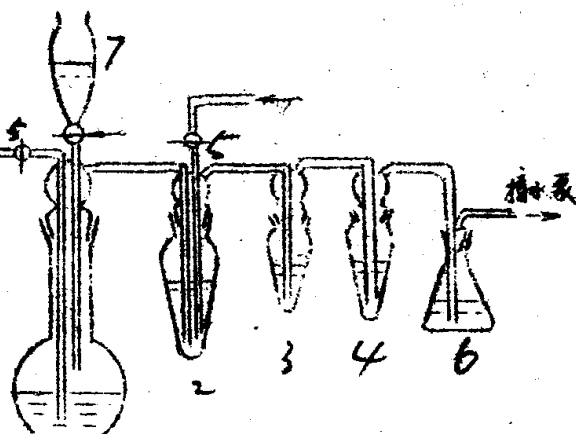
Ru^{100} 示踪的亚硝酰釤硝酸溶液的制备及载体浓度的分析

制备亚硝酰釤硝酸溶液的装置如图 1 所示。在蒸餾瓶(1)中預

图 1 制备亚硝酰釤硝酸溶液

的装置示意图

1—蒸餾瓶；2, 3, 4—冷阱；
5—活塞；6—吸收器；
7—漏斗。



I - 4

先盛放铋酸鈉，然后从漏斗(7)中緩慢加入 Ru^{106} 示踪的氯化鈦与 6N 硫酸的混合物。加热蒸馏，产生的四氧化鈦用置放在冷阱(2), (3), (4)中的已知濃度的硝酸溶液吸收，同时由活塞(5)通入一氧化氮。冷阱用冰浴冷却。由此制得的亚硝酰鈦的硝酸溶液經加热除去其中的氧化氮，即得 Ru^{106} 示踪的亚硝酰鈦的硝酸溶液（以下简称示踪液）。上述蒸馏装置放在 β 放射性工作箱內操作。

上法制得的亚硝酰鈦的硝酸溶液，用国产 7·1 型分光光度計·在 420—580 壓微米間測得的吸收光譜与文献〔3〕的結果相近，表明其中很少含有 NO_2^- 的亚硝酰鈦絡合物。

鈦的载体濃度按文献〔13〕的方法分析。把上述的亚硝酰鈦的硝酸溶液加等体积的浓盐酸，加热片刻，待溶液冷却后滴入过量的 16N 氢氧化鈉溶液中和，再以飽和的过碘酸鉀与次氯酸鈉溶液使其轉化成鈦酸盐和过鈦酸盐。然后用乙醇把它还原成低价的黑色氧化物沉淀，离心分离，将沉淀用的 6 N 盐酸加热溶解，最后用镁还原成金属鈦。过量镁粉用盐酸溶液。沉淀經燒結玻璃漏斗过滤，在 70°C 下烘干，冷却后称量。按此法标定得上述示踪液中载体度为 5×10^{-3} M。

萃取方法

为了防止萃取过程中各种亚硝酰鈦的硝酸盐之間发生相互轉化，把已經預平衡的有机相和水相預先冷却到 0°C，然后以不同的相体积比（水相体积固定为 1 毫升，改变有机相体积）将溶液移入浸在水浴中的带磨口塞的离心試管里，再加入已知放射性比度的 Ru^{106} 示踪液 0·05 毫升。迅速在机械振盪器上剧烈振盪 30 秒鐘¹⁾，立即离心分离 2—3 分钟，分层后移等体积的有机相与

水相于有机玻璃测量瓶中。为了使 Rh^{106} 与子体 Rh^{106} 平衡，需将样品放置半小时左右再测量它们的放射性比度（即相当于钉在两液相中的浓度）。由此可按馬丁技术中处理数据的方法，求出易被萃取的钉的络合物的分配系数。

放射性测量所用的钟罩形 β 计数管与 6·4 进位定标器都系复旦大学自制的。

测定 TBP—煤油溶液萃取硝酸的分配系数是在分液漏斗中进行的。将等体积的水相和有机相的溶液经半小时振摇后，用已知浓度的氢氧化钠溶液分别滴定其中硝酸的浓度。

結果与討論

一、磷酸三丁酯的煤油溶液对硝酸的萃取

在研究 TBP 萃取各种金属离子的机理时，必须测定 TBP 对硝酸的萃取分配。因为这将直接影响有机相中自由 TBP 的浓度。在前人文献中对 TBP 萃取硝酸的工作发表的很多，但是缺乏以煤油为稀释剂的数据。为此，我们首先测定了在不同水相硝酸浓度时，30% (v/v) 的 TBP—煤油溶液萃取硝酸的分配曲线。由图 2 所示的结果表明，有机相中的硝酸浓度随着水相浓度的增加而增加。水相硝酸浓度低于 5 M 时，有机相中的硝酸浓度始终不超过 TBP 的原始浓度。因此，可以假设有机相中只有 $TBP \cdot HNO_3$ 生成，其生成反应可写成



其中 $TBP \cdot HNO_3$ 的生成常数

I - 6

$$K_{HNO_3} = \frac{[TBP \cdot HNO_3]}{[TBP]_{\text{有}} [H^+] [NO_3^-]} \quad (4)$$

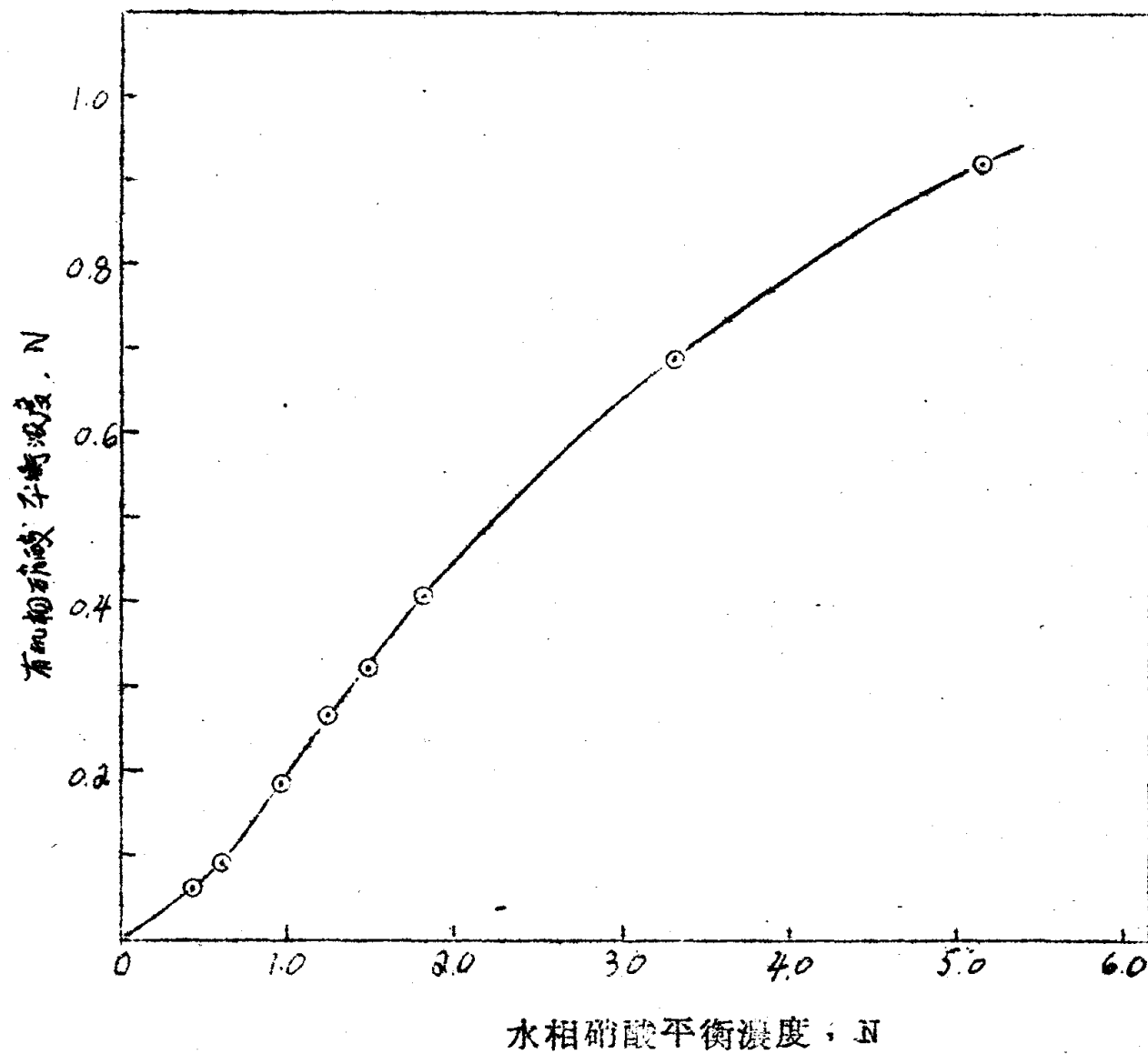


图 2. 30% TBP-煤油溶液萃取硝酸的分配曲线。

将图 2 中的实验数据¹⁴代入上式计算得 $K_{HNO_3} = 0.21 \pm 0.02$ ，恰好与弗明等¹⁴以苯为稀释剂时测得的数值 (0.22 ± 0.02) 相吻合。这也表明在文献(7)中假设以苯或煤油作稀释剂时，TBP 萃取硝酸的生成常数相等是合理的。

二、 Ru^{100} 示踪液进入待萃取的水相中，放置时间对萃取百分率的影响 把原始硝酸浓度为 $11.5N$ 、载体浓度为 $5 \times 10^{-3} M$ 的

Ru^{106} 示踪液 0.05 毫升移入經水浴冷却的 3.0 毫升的 3 N 硝酸溶液中，然后每隔一定的时间吸取一定体积的此溶液，用等体积的 30% TBP- 煤油溶液进入萃取，所得的结果如图 3 所示。由图可見，放置时间愈长，易被萃取的亚硝酰钌的络合物的浓度减少得愈多。这可能由于原始示踪液的硝酸浓度 (11.5 N) 比平衡水相中的浓度 (3 N) 高，当示踪液加入水相后浓度降低，其中易被萃取的 $\text{RuNO}(\text{NO}_3)_3(\text{H}_2\text{O})_2$ 就逐渐转化为较难被萃取的 $\text{RuNO}(\text{NO}_3)_2(\text{OH})(\text{H}_2\text{O})_2$ 等络合物所致。因此，有机相中放射性比度在最初是随放置时间而下降，至 4.2 小时以后，易被萃取的钌的络合物与难于被萃取的络合物之间的平衡已达到，因而有机相的放射性比度也就几乎不变了。

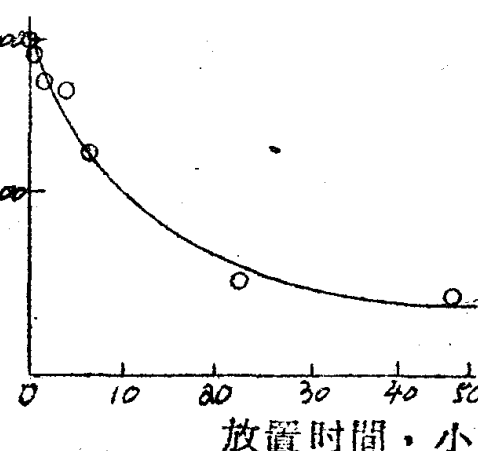


图 3 放置时间对有机相萃取的影响

示踪液原始酸度为 11.5 N；
萃取平衡水相酸度为 3 N；
放置温度約 0°C；振盪时间
30 秒。

三、萃取平衡时间的测定 在萃取的两相組成和(1)相同的情况下，我們用馬丁技术，改变两相的体积比 ($n = \frac{V_{\text{有}}}{V_{\text{水}}}$)，使 $n = 1, 2, 3, 4, 6$ 时测定萃取达到平衡所需的时间。表 1 列出了經不同时间振盪后测得的易被萃取的络合物的分配系数 (D_T) 均为 1.0。这就說明振盪时间 30 秒已使萃取达到平衡。显然振盪时间过长，则难于被萃取的络合物占钌的总含量 (C_{Ru}) 的分数 $(\frac{C_D}{C_{\text{Ru}}})$ 将有所增加。

四、在不同硝酸浓度的原始溶液中 $\text{RuNO}(\text{NO}_3)_3(\text{H}_2\text{O})_2$ 的相对含量 将示踪液用蒸馏水稀释到不同的硝酸浓度后，放置二天，待其平衡后用馬丁技术测定其中亚硝酰钌的易被萃取络合物 $\text{RuNO}(\text{NO}_3)_3(\text{H}_2\text{O})_2$ 的相对含量。三种不同酸度的原始液的测量结果示于图 4。

表1 不同萃取振荡时间的分配系数

振荡时间，分	0·5	1	2	6	30	60
D_T	1·0	1·0	1·0	1·0	1·0	1·0
C_D/C_{Ru}	0·19	0·21	0·23	0·24	0·24	0·26

由直线对横坐标的截距求出 C_D ，表 2 中列出了由计算得到的易被萃取和难于被萃取的络合物的相对含量，与文献(1) 报导的结果相近。随原始液中硝酸浓度增加， $\text{RuNO}(\text{NO}_3)_3(\text{H}_2\text{O})_2$ 的相对含量也将增加。

表2 不同浓度的原始硝酸溶液中易被萃取和
难于被萃取络合物的相对含量

原始硝酸浓度, N	4·0	4·6*	6·3*	6·7	11·5	12·4*
C_T/C_{Ru}	0·22	0·24	0·39	0·36	0·73	0·76
C_D/C_{Ru}	0·78	0·76	0·61	0·64	0·27	0·24

* 表示文献(1)的数据。

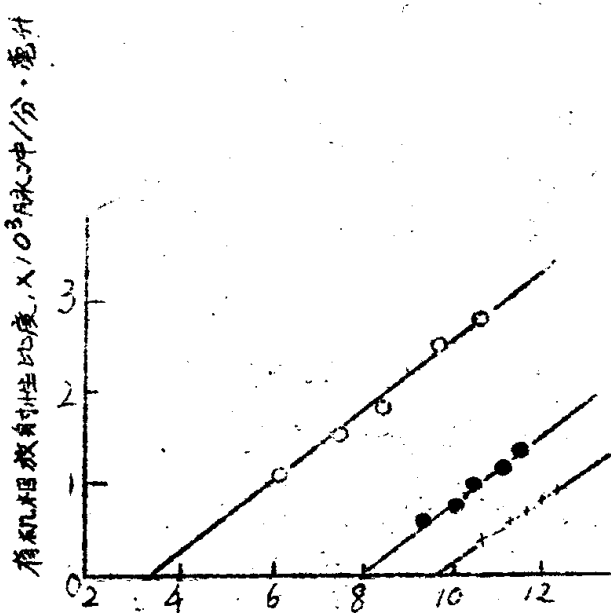


图4 不同原始硝酸浓度时，水相放射性比度与有机相放射性比度之间的关系
 $[TBP] = 30\%$ (体积比)；
 $[HNO_3] = 4 \cdot 0N$ (萃取平衡的酸度)；
 温度为 $0^\circ C$ 。
 ○— $11 \cdot 5N HNO_3$ ；
 ●— $6 \cdot 7N HNO_3$ ；
 ×— $4 \cdot 0N HNO_3$ 。

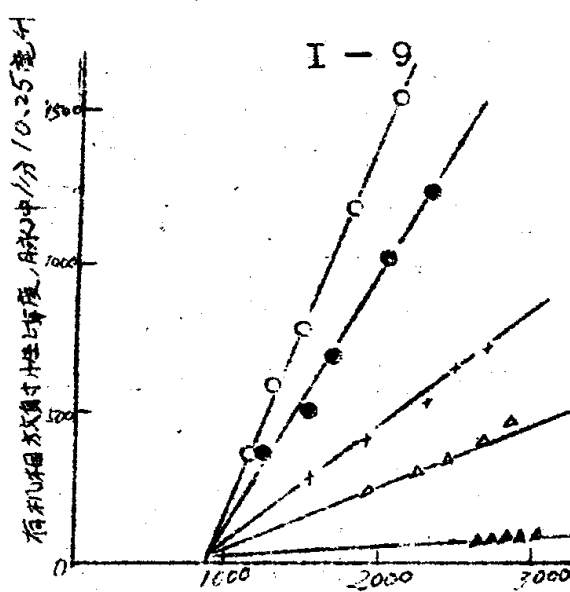
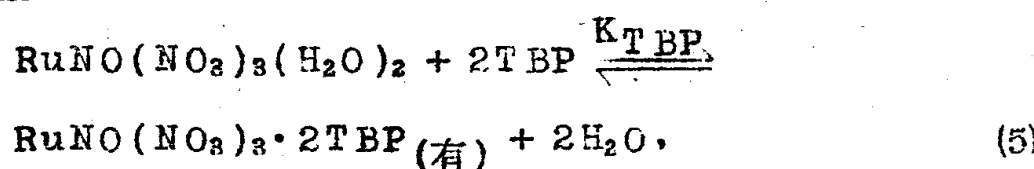


图5 TBP 浓度不同时的 D_T 值示踪液酸度为 $11 \cdot 5N$ ；萃取平衡酸度为 $4 \cdot 0N$ ；振荡时间为 30 秒；温度为 $0^\circ C$ 。
 ○—50% TBP , $D_T = 1 \cdot 2$ ；
 ●—40% TBP , $D_T = 0 \cdot 80$ ；
 ×—30% TBP , $D_T = 0 \cdot 40$ ；
 △—20% TBP , $D_T = 0 \cdot 22$ ；
 ▲—10% TBP , $D_T = 0 \cdot 04$ 。

五、 TBP 浓度对分配系数 (D_T) 的影响 在示踪液的原始酸度为 $11 \cdot 5N$ ，平衡水相的硝酸浓度为 $4N$ 时，用馬丁技术测定了萃取剂 (TBP) 浓度不同时的 D_T 值 (见图 5)。以 $1g D_T \sim 1g [TBP]$ 作图得一直线关系 (见图 6)。其斜率近于 2，与尼科拉耶夫 (A. B. Николаев)^(a) 用不同方法求得的结果相符。

假设进入有机相的被萃取络合物为 $RuNO(NO_3)_3 \cdot 2TBP$ ，萃取反应为



其中 K_{TBP} 为该络合物的生成常数。此数值在文献中未见报导过。
按上述萃取反应可写出

$$K_{TBP} = \frac{[\text{RuNO}(\text{NO}_3)_3 \cdot 2\text{TBP}] (\text{有})}{[\text{RuNO}(\text{NO}_3)_3(\text{H}_2\text{O})_2](\text{TBP})^2 (\text{有})} \quad (6)$$

分配系数

$$\begin{aligned} D_T &= \frac{[\text{RuNO}(\text{NO}_3)_3 \cdot 2\text{TBP}] (\text{有})}{[\text{RuNO}(\text{NO}_3)_3(\text{H}_2\text{O})_2]} \\ &= K_{TBP} (\text{TBP})^2 (\text{有}), \end{aligned} \quad (7)$$

其中 $[\text{TBP}] (\text{有})$ 为萃取平衡后有机相中的自由 TBP 浓度。由于 TBP 本身对硝酸的萃取，而使 TBP 的浓度减少。按上述测得的 TBP-HNO₃ 生成常数

$$K_{\text{HNO}_3} = \frac{[\text{TBP} \cdot \text{HNO}_3] (\text{有})}{[\text{TBP}] (\text{有}) [\text{H}^+] [\text{NO}_3^-]} = 0.2 \pm 0.02 \quad (8)$$

如果不计 RuNO 的被萃取络合物中的 TBP 量，则

$$[\text{TBP} \cdot \text{HNO}_3] (\text{有}) = [\text{TBP}]^0 (\text{有}) - [\text{TBP}] (\text{有}). \quad (9)$$

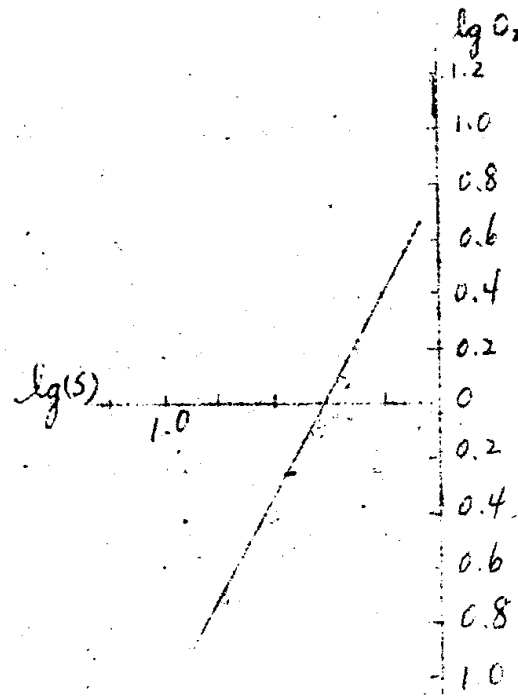
式中 $[\text{TBP}]^0 (\text{有})$ 为 TBP 的原始浓度。在水相硝酸浓度恒定时， $[\text{H}^+] = [\text{NO}_3^-]$ ，则由上述公式得

$$K_{TBP} = \frac{D_T (1 + 0.22 [\text{H}^+]^2)^2}{[\text{TBP}]^0 (\text{有})}. \quad (10)$$

按上式计算了水相酸度为 4·0N 及 3·0N，TBP- 煤油的浓度为 20%，30%，40%，50% 时的 K_{TBP} 平均值为 6.5 ± 0.2 (见表 3)。

表3 $\text{RuNO}(\text{NO}_3)_3 \cdot 2\text{TBP}$ 的生成常数(温度 $\sim 0^\circ\text{C}$, $K_{\text{HNO}_3} = 0.22$)

$[\text{H}^+], \text{M}$	$[\text{TBP}]$ (有), M	D_T	K_{TBP}
4.0	0.73	0.22	6.7
4.0	1.10	0.40	5.9
4.0	1.46	0.80	6.7
4.0	1.82	1.20	6.4
3.0	1.10	1.00	6.6

平均值 6.5 ± 0.2 图6 萃取剂浓度(s)与 D_T 的关系

曲线

O—在4·0 NHNO_3 时用TBP

萃取

小 結

1. 测定了30% TBP-煤油萃取硝酸的分配曲线，并由此计算得TBP-NHNO₃络合物生成常数为 $0 \cdot 21 \pm 0 \cdot 02$ ，与以苯为稀释剂时所得的结果一致。

2. 测定了Ru¹⁰⁰示踪液加入待萃取水相后的放置时间，示踪液的原始酸度和有机相中TBP浓度对亚硝酰钌的分配系数的影响。

3. 利用马丁技术测定了亚硝酰钌的三硝酸基络合物。

[RuNO(NO₃)₃·(H₂O)₂] 的分配系数与萃取剂浓度的关系，并计算得 RuNO(NO₃)₃·2TBP 的生成常数为 $6 \cdot 5 \pm 0 \cdot 2$ 。

文 献

- [1] J. M. Fletcher et al., J. Inorg. Nucl. Chem., 1, 378 (1955).
- [2] J. M. Fletcher, F. S. Martin, Proc. Int. Conf. Peaceful Uses of Atomic Energy, Geneva, 1955, Vol. 7, p. 141, P/437.
- [3] J. M. Fletcher et al., J. Inorg. Nucl. Chem., 12, 154 (1959).
- [4] J. M. Fletcher, J. Inorg. Nucl. Chem., 8, 277 (1958).
- [5] P. G. M. Brown, et al., Proc. 2nd Int. Conf. Peaceful Uses of Atomic Energy, Geneva, 1958, Vol. 17, p. 118.
- [6] В. Д. Никольский и др., Жур. Неорг. Хим., 2, 2746 (1957).
- [7] В. Д. Никольский и др., Жур. Неорг. Хим., 3, 2476 (1958).
- [8] 茲维雅金切夫等，第二届和平利用原子能国际会议文献，原子能基本化学与辐射化学，第1册，第83页，科学出版社，1960年。
- [9] G. Ruxstam, Acta Chem. Scand., 13, 1481 (1959).
- [10] А. В. Николаев и др., Изотопы и излучения в химии, стр. 271, 1958.
- [11] В. Б. Шевченко и др., Радиохимия, 3, 121 (1961).
- [12] F. S. Martin, AERE-C/R-816 (1951).
- [13] R. R. Rickard et al., Anal. Chem., 31, 50 (1959).
- [14] В. В. Фомин и др., Жур. Неорг. Хим., 1, 1703 (1956).

萃取流程中放射性釔的化学(II)

在亚硝酸鈉存在下磷酸三丁酯萃取亚硝酰釔的行为

复旦大学放射化学教研室

引言

釔在硝酸溶液中化学状态复杂，它在热鉑处理过程中乃属煩難的元素之一。特別是在提釔过程中調節釔的价态，引入了亚硝酸鈉，使得溶液中~~硝酰~~釔的絡合物更加繁多，而它們之間又会发生轉化。这确实为研究釔在萃取过程中的行为带来了較大的困难。但是，另一方面，正因为它的萃取行为复杂，变化多端，这样就有可能通过控制一些影响因素和外界条件的改变来提高釔的去汚^亞係數。基於这一点，我們进行了本文的工作。在探討^亞硝酸釔存在下磷酸三丁酯对亚硝酰釔的萃取之前，我們先研究了 HNO_3 - NaNO_2 混合体系中磷酸三丁酯萃取酸的行为。为了闡明亚硝酸鈉影响亚硝酰釔^{萃取}的机理，本文还采用了馬丁(Martin)方法⁽¹⁾，得出了一定的結果。

实验部分

試剂：磷酸三丁酯(TBP) 上海試剂厂出品，酸度 $7 \cdot 38 \times 10^{-3} \text{N}$ ，比重 $d^{20} = 0 \cdot 978$ ，折光率 $n_D^{20} = 1 \cdot 4196$ 。

煤油，将市售的煤油用工业純的濃硫酸洗滌两次，隨后用水洗至中性，再加无水氯化鈣干燥，蒸餾收集 $180^{\circ}\text{—}240^{\circ}$ 之間的餾分。

用錦州200号合成煤油进行萃取實驗所得結果与上述經純化的煤油相同。

II - 2 -

氯化釔 系英國約翰遜 (Johnson) 試劑廠出品的 A.R 級試劑。

Ru^{106} (Rb^{107}) 放射性指示劑 系蘇聯進口的硝酸溶液。其他化學試劑均為國產分析級試劑。

Ru^{106} 示踪的亞硝酰釔硝酸溶液的制備及載體濃度的分析：亞硝酰釔硝酸溶液制備與載體濃度的分析方法同文獻 [2]。只是作為釔的氧化劑改用過碘酸。這樣不僅蒸餾的殘余物易於處理，而且蒸餾速度快而完全，通常在半小時內蒸餾即可完成，蒸餾的終點也較易分辨。

酸的分配：用 1.73M 的 $NaNO_2$ 和 5.168N 的 HNO_3 配成含有 0.5N HNO_3 及各種不同濃度亞硝酸鈉的溶液。為了防止亞硝酸的分解而引起的它在溶液中濃度的改變，溶液的配制和存放都在 0°C 左右。取待分配的水相和有機相各 1.0 毫升於一干燥的 60 毫升的分液漏斗中，振盪二十分鐘，靜置分層，然後以酚酞作指示劑用氫氧化鈉滴定水相總酸度。水相亞硝酸根濃度的測定，是先在樣品中加入過量的硫酸鉻標準溶液。再以鄰啡囉啉亞鐵溶液作指示劑，用標準的硫酸亞鐵溶液回滴。因為平衡前後相體積變化不大，我們用差減法求得有機相酸度和亞硝酸濃度。初試驗證明，差減法求得的濃度和直接滴定有機相得到的結果相近。

釔的分配：先將不同濃度的硝酸（或含亞硝酸鈉）溶液和 3.0% TBP-火油溶液各移取 1 毫升於 5 毫升帶塞磨口離心試管里，經振盪，離心後吸去水相，再在各試管中加入相應組分的水相 1 毫升，且各加二滴用 Ru^{106} 示踪的亞硝酰釔溶液，振盪一分

II - 3 -

鉻，離心半分鐘，分層後移取 0.25 毫升的有機相和水相於不鏽鋼測量盤中烘干、測量。為了使 Ru^{106} 與子體 Rh^{106} 平衡，需將樣品放置半小時左右再測量它們的放射性此度。

放射性測量所用的鉻單型 β 計數管與 64 運位定標器都系復旦大學自制的。

結 果 与 討 論

(一) 磷酸三丁酯對 $\text{HNO}_3 - \text{NaNO}_2$ 混合體系中酸的萃取

亞硝酸是一弱酸，且在高酸度時極不穩定。為此，我們選擇硝酸濃度為 0.5M，變更亞硝酸鈉的濃度，用 30% (v/v) 的 TBP 火油溶液進行萃取實驗，結果列於表 1。

表 1 30% (v/v) TBP-火油溶液萃取亞硝酸的分配係數

$[\text{HNO}_3]_W^0$	$[\text{NaNO}_2]_W^0$	$[\text{NO}_2]_{\text{水}} M$	$[\text{H}^+]_{\text{水}} M$	$[\text{HNO}_3]_{\text{水}} M$	$[\text{HNO}_3]_{\text{有}} M$	$[\text{HNO}_2]_{\text{有}} M$	D HNO_2
0.5071	0.0218	0.4497	0.4279	0.0116	0.0574	0.0102	0.9
0.5026	0.0348	0.4522	0.4175	0.0115	0.0504	0.0233	2.1
0.5030	0.0513	0.4686	0.4174	0.0114	0.0344	0.0400	3.5
0.5006	0.0807	0.4790	0.3983	0.0118	0.0216	0.0689	5.8
0.5000	0.0950	0.4910	0.3961	0.0114	0.0090	0.0836	7.3
0.5032	0.1448	0.5032	0.3869	0.0133	0.0000	0.1315	9.9

在亞硝酸鈉的存在下，硝酸的分配係數是下降的，而亞硝酸在有機相中的濃度及其分配係數却隨水相亞硝酸鈉初始濃度增加而增加（見圖 1）。這就表明，亞硝酸進入有機相對硝酸的萃取有排擠作用。在水相亞硝酸鈉濃度大到一定程度後，有機相中硝酸的萃取近乎於零。鑑於磷酸三丁酯對作為弱酸的亞硝酸的萃取